

# ПОЛЯРИЗАЦИОННАЯ ПОПРАВКА В ТЕОРИИ ПОТЕРЬ ЭНЕРГИИ ЗАРЯЖЕННЫМИ ЧАСТИЦАМИ

Д. Н. Макаров\*, В. И. Матвеев

Северный (Арктический) федеральный университет им. М. В. Ломоносова  
163002, Архангельск, Россия

Поступила в редакцию 27 сентября 2014 г.

Предложен метод нахождения поляризационной поправки (поправки Баркаса) в теории потерь энергии заряженными частицами при столкновениях с многоэлектронными атомами. Поправка Баркаса представлена в простом аналитическом виде. Проведены сравнения с экспериментальными данными, показано, что учет поправки Баркаса улучшает согласие теории и эксперимента.

DOI: 10.7868/S0044451015050031

## 1. ВВЕДЕНИЕ

В настоящее время ионизационные потери энергии при столкновениях тяжелых ионов с атомами вещества достаточно хорошо изучены для области скоростей иона  $v \gg v_a$  [1], где  $v_a \sim 1$  — характерная скорость электрона в атоме. В этой области скоростей столкновений обычно используют формулу Бете–Блоха со стандартными поправками к ней [1] (здесь и везде далее, если не будет оговорено, используются атомные единицы):

$$S = 4\pi \frac{Z^2}{v^2} N_a \left( L^{Bethe} + \Delta L^{Bloch} + \Delta L^{Shell} + \Delta L^{Barkas} \right), \quad (1)$$

где  $Z$  и  $v$  — заряд и скорость снаряда,  $N_a$  — число электронов в мишени, величина  $L^{Bethe} = \ln(2v^2/I)$  рассчитана Бете [2] в низшем порядке теории возмущений,  $I$  — средний потенциал ионизации мишени,  $\Delta L^{Bloch} = -\operatorname{Re}\psi(1 + iZ/v) + \psi(1)$  — поправка Блоха [3],  $\psi(x)$  — логарифмическая производная Г-функции,  $\Delta L^{Shell}$  — оболочечная поправка (см., например, [4]),  $\Delta L^{Barkas}$  — поправка Баркаса (Barkas) [5]. Именно исследованию поправки Баркаса посвящена данная статья. Необходимость введения в теорию Бете–Блоха поправки Баркаса (ее часто называют поляризационной поправкой) появилась в результате экспериментального обнаруже-

ния [6] разницы в несколько процентов между пробегами  $\pi^+$ - и  $\pi^-$ -мезонов одинаковой энергии в фототемульсии. Физическая суть возникновения этой поправки заключается в том, что при взаимодействии заряженной частицы с атомом электронные оболочки атома вытягиваются в направлении заряженной частицы, если заряд частицы положительный, но вытягиваются в противоположную сторону, если заряд частицы отрицательный, таким образом электронные оболочки вытягиваются по-разному в зависимости от знака заряда частицы. Существует квантовое решение этой проблемы во втором порядке теории возмущений [7] в области ее применимости, т. е. при  $Z/v \ll 1$ , где  $Z$  — заряд иона,  $v$  — скорость иона, и эта поправка вносит небольшой вклад в формулу (1). Но если рассматривать потери энергии не легких заряженных частиц, а тяжелых, эта поправка, как выяснилось позже, может давать большие значения [1, 8–11] и становится необходимым непертурбативное рассмотрение. Квантовомеханического, точного решения этой проблемы нет и в настоящее время. Действительно, чтобы найти такое решение, нужно знать волновые функции электрона в поле двух движущихся заряженных центров, кроме того, если атом сложный, то необходимо учитывать экранировку атомного заряда и множество других проблем. Поэтому прибегают к различным моделям, чтобы обойти все эти трудности. Например, в работах [10, 11] рассматривалось классическое решение этой проблемы для одноэлектронного атома и показано численно, что поправка Баркаса может достигать около 100 % к результатам теории Бете–Блоха

\*E-mail: makarovd0608@yandex.ru

в области скоростей, сравнимых с атомными. При этом для такой области скоростей поправка Баркаса [6, 8] там, где она существенна, обычно рассчитывается с использованием классической физики с различными подгоночными параметрами и малообоснованными приближениями. Таким образом, к строгим и общепринятым результатам следует отнести лишь квантовомеханические расчеты во втором порядке теории возмущений. Для расчетов поправки Баркаса при рассмотрении потерь энергии тяжелыми высокозарядными ионами, когда часто нарушено условие применимости теории возмущений ( $Z/v \ll 1$ ), до настоящего времени [1] по причине сложности непертурбативного рассмотрения нет не только точных, но и приближенных общепринятых непертурбативных подходов и находят применение разнообразные полуколичественные формулы с подгоночными параметрами, определяемыми экспериментально. При этом поправка  $\Delta L_{Barkas}$  вводится в теорию [12–14] не в рамках единого метода, а в качестве дополнительных поправок, которые необходимы при использовании других подходов, например, [1, 8]. Таким образом, о поправке  $\Delta L_{Barkas}$  в областях скоростей столкновения и зарядов налетающих ионов, в которых  $Z/v \geq 1$ , мы можем говорить только качественно, а теории по ее расчету основаны на подгоночных параметрах и грубых приближениях [1]. Поэтому вопрос о разработке теории, которая бы включала в себя поправку Баркаса и охватывала область  $Z/v \geq 1$  без использования подгоночных параметров, достаточно актуален.

В данной работе предложен и разработан подход к такой теории, в которой поправка Баркаса входит в теорию Бете–Блоха естественным способом, причем с учетом недавно полученной непертурбативной оболочечной поправки [12–14]. Предложен метод нахождения поляризационной поправки (поправки Баркаса) в теории потерь энергии заряженными частицами при столкновениях с многоэлектронными атомами. Поправка Баркаса представлена в простом аналитическом виде. Проведены сравнения с экспериментальными данными, показано, что учет поправки Баркаса улучшает согласие результатов теории и эксперимента.

## 2. ПОТЕРИ ЭНЕРГИИ В ОБЛАСТИ КОРТОКОДЕЙСТВУЮЩЕГО ПОТЕНЦИАЛА

Рассмотрим потери энергии при столкновениях частиц, взаимодействующих посредством короткодействующего потенциала, радиус действия которого

будем обозначать  $\alpha$ . Следует сказать, что такой метод нахождения потерь энергии и поправки Баркаса известен [10], но в нем остается неопределенным параметр  $\alpha$ , ограничивающий область короткодействующего потенциала. Чаще всего используют потенциал Юкавы, в котором параметр  $\alpha$ , известный лишь по порядку величины, называют адиабатическим радиусом. Например, в работах [10, 15] считают просто, что  $\alpha = v/\omega$ , где  $\omega$  — характеристическая частота атома,  $v$  — скорость иона. Такой выбор  $\alpha = v/\omega$  неточен и дает лишь качественное поведение поправки Баркаса [16], поскольку, строго говоря, можно считать, что  $\alpha$  лишь порядка  $v/\omega$ . Действительно, выбор  $\alpha$  основан на приравнивании потерь энергии на короткодействующем потенциале с параметром  $\alpha$  и потерь энергии по классической формуле Бора при условии  $Z/v^2 \ll 1$  и  $\omega/v \ll 1$ , при этом очевидно, что игнорируется дальнодействующая часть кулоновского потенциала, вносящая заметный вклад в потери энергии. Это приводит к разным функциональным зависимостям для эффективного торможения для короткодействующего и кулоновского потенциалов и к невозможности корректной процедуры сшивки. Поэтому существует необходимость в более точном поиске параметра  $\alpha$ , с использованием аппарата квантовой физики при более точных приближениях.

Рассмотрим рассеяние электрона в области короткодействующего потенциала, более простого, чем потенциал Юкавы, что в итоге приведет к аналитическим выражениям, кроме того, точность нашего метода будет в большей степени зависеть не от выбора потенциала, а от правильного нахождения параметра  $\alpha$ . Выберем короткодействующий потенциал в часто используемом виде (см., например, [10, 17–19]):

$$V = \begin{cases} \frac{-Z}{r} \left(1 - \frac{r}{\alpha}\right), & r < \alpha, \\ 0, & r > \alpha, \end{cases} \quad (2)$$

где параметр  $\alpha$  — граница короткодействующего потенциала. Далее рассмотрим потери энергии на таком потенциале в квантовом случае. Соответствующее эффективное торможение будем обозначать  $\kappa_1$ , оно связано с тормозным числом  $L_1$  соотношением  $\kappa_1 = 4\pi\eta^2 L_1$ . Используя известное [20] соотношение между эффективным торможением и транспортным сечением, легко представить тормозное число  $L_1$  в виде [21]

$$L_1 = \frac{1}{\eta^2} \sum_{l=0}^{\infty} (l+1) \sin^2 (\delta_l - \delta_{l+1}), \quad (3)$$

где  $\eta = Z/v$  — кулоновский параметр, а  $\delta_l$  — фазовый сдвиг. Также известно, что фазовый сдвиг на обрезанном потенциале с границей  $\alpha$  можно представить так ([22] и [23], формула (3.44)):

$$\operatorname{tg} \delta_l = \frac{j_l(v\alpha) - (f/v)j'_l(v\alpha)}{n_l(v\alpha) - (f/v)n'_l(v\alpha)}, \quad (4)$$

где  $j_l(x)$  — сферические функции Бесселя,  $n_l(x)$  — сферические функции Неймана,  $j'_l(x) = dj_l(x)/dx$  и  $n'_l(x) = dn_l(x)/dx$ , а

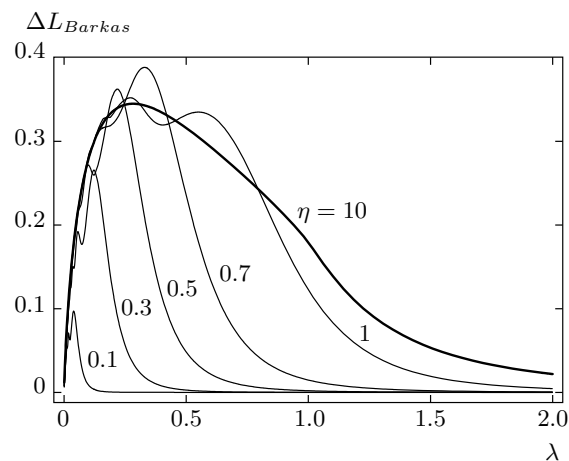
$$f = \frac{1}{R_l} \frac{dR_l}{dr}$$

— логарифмическая производная по координате  $r$  от радиальной волновой функции  $R_l(r)$  электрона на границе области действия потенциала, т. е. при  $r = \alpha$ ,  $l$  — орбитальный момент импульса. Для того чтобы найти  $R_l(r)$ , не обязательно решать радиальное уравнение Шредингера, а достаточно воспользоваться известным результатом для кулоновского поля с той лишь разницей, что скорость  $v$  следует заменить на  $v\sqrt{1-2\lambda}$ , где  $\lambda = Z/v^2\alpha$ . Такая замена становится очевидной, если увидеть, что  $V = -Z/r + Z/\alpha$ , так что в нашем случае уравнение Шредингера не будет отличаться от уравнения для кулоновского потенциала, если энергию  $E = v^2/2$  заменить на  $v^2/2 - Z/\alpha$ . В итоге радиальная волновая функция имеет вид

$$R_l(r) = c_l \left(2vr\sqrt{1-2\lambda}\right)^l \exp\left(-ivr\sqrt{1-2\lambda}\right) \times F\left(1+l+i\frac{\eta}{\sqrt{1-2\lambda}}; 2l+2; 2ivr\sqrt{1-2\lambda}\right), \quad (5)$$

где  $c_l$  — нормировочная константа, которая исчезает во входящей в формулу (4) функции  $f$ , а  $F(a; b; y)$  — вырожденная гипергеометрическая функция. Используя формулы (3)–(5), можно представить тормозное число  $L_1$  в виде довольно громоздкого ряда, суммирование которого можно выполнить лишь численно. Отметим, что  $L_1$  является функцией от  $Z$  (т. е.  $L_1 = L_1(Z)$ ), содержащей как четные, так и нечетные степени  $Z$ . Поправка Баркаса, имеющая смысл поляризационной поправки, очевидно, содержит лишь нечетные степени  $Z$  и выражается через  $L_1(Z)$  следующим образом:

$$\Delta L_{Barkas} = \frac{L_1(Z) - L_1(-Z)}{2}. \quad (6)$$



**Рис. 1.** Поправка Баркаса  $\Delta L_{Barkas}$ , рассчитанная по формуле (6) в квантовом случае для одного электрона, как функция от безразмерного параметра  $\lambda = Z/v^2\alpha$  при  $\eta = (0.1, 0.3, 0.5, 0.7, 1, 10)$ . Сплошная жирная линия показывает сливающиеся при всех значениях  $\eta \geq 10$  зависимости  $\Delta L_{Barkas}$ , соответствующие классическому случаю

В принципе, точный квантовый расчет можно представить в виде суммы, где под знаком суммы стоит аналитическое выражение, но оно слишком громоздкое, поэтому тут его не приводим. Таким образом, рассчитав численно  $L_1(Z)$  и  $L_1(-Z)$ , мы нашли значения поправки Баркаса. Как нетрудно заметить из формул (3)–(5),  $\Delta L_{Barkas}$  зависит от двух независимых безразмерных параметров  $\lambda = Z/v^2\alpha$  и  $\eta = Z/v$ . На рис. 1 приведены зависимости поправки Баркаса от параметра  $\lambda$  при различных значениях  $\eta$ , таких что  $\eta = (0.1, 0.3, 0.5, 0.7, 1, 10)$ . Видно, что, чем больше  $\eta$ , тем ближе друг к другу расположены графики. Мы не приводим графики для  $\eta > 10$ , поскольку в этих случаях они сливаются с линией, соответствующей  $\eta = 10$ . Отметим, что  $\eta \gg 1$  соответствует переходу в область классической физики при любых значениях  $\lambda$  (действительно, в системе СГС  $\eta = Ze^2/\hbar v$ , а  $\lambda = Ze^2/mv^2\alpha$  не зависит от постоянной Планка  $\hbar$ ).

Для дальнейшего нам понадобится классическое решение поставленной задачи. В классическую область можно перейти, используя предельный переход  $\eta \rightarrow \infty$  в квантомеханическом решении; это крайне затруднительно сделать, но проще будет решить классическую задачу о рассеянии на таком потенциале. Эффективное торможение обозначим как

$$\kappa_1^{cl} = 2v^2 \int \sin^2 \frac{\chi(b)}{2} d\mathbf{b},$$

где  $\chi(b)$  — угол рассеяния,  $\mathbf{b}$  — вектор параметра удара [20],  $b = |\mathbf{b}|$ . Если  $\chi(b) = |\pi - 2\phi(b)|$ , то

$$\kappa_1^{cl} = 2v^2 \int \cos^2 \phi(b) d\mathbf{b},$$

где

$$\phi(b) = \int_{r_{min}}^{\infty} \frac{b}{r^2 \sqrt{1 - (b/r)^2 - 2V/v^2}} dr. \quad (7)$$

Проведя элементарные выкладки, получим

$$\kappa_1^{cl} = 2v^2 \int \left( x \sqrt{1 - y^2} - y \sqrt{1 - x^2} \right)^2 d\mathbf{b}, \quad (8)$$

в свою очередь  $y = b/\alpha$ , а

$$x = \frac{\frac{b}{\alpha} - \frac{Z}{v^2 b}}{\sqrt{1 + \left( \frac{Z}{bv^2} \right)^2 - \frac{2Z}{v^2 \alpha}}}. \quad (9)$$

Проинтегрировав выражение (8), получим

$$\kappa_1^{cl} = 4\pi \left( \frac{Z}{v} \right)^2 L_1^{cl}, \quad (10)$$

где

$$L_1^{cl} = \frac{1}{2(1-2\lambda)^2} \times \\ \times \left( 2\lambda - 1 + (\lambda - 1)^2 \ln \left( \frac{\lambda - 1}{\lambda} \right)^2 \right), \quad (11)$$

а  $\lambda = Z/v^2 \alpha$ . Далее,  $L_1^{cl}$  является функцией от  $Z$ , т. е.  $L_1^{cl} = L_1^{cl}(Z)$ . Поэтому классическая поправка Баркаса равна

$$\Delta L_{Barkas}^{cl} = \frac{L_1^{cl}(Z) - L_1^{cl}(-Z)}{2}. \quad (12)$$

Вернемся к результатам описанного выше квантового расчета с использованием формул (3)–(5). Нам удалось подобрать аналитическую аппроксимацию квантового расчета  $\Delta L_{Barkas}$  с неплохой (погрешность не превышает 5 %) точностью:

$$\Delta L_{Barkas} = \Delta L_{Barkas}^{cl} \times \\ \times \frac{1 + \frac{\eta\lambda}{1+6\lambda^2} e^{-\eta}}{1 + \left( \frac{\lambda}{0.4\eta(1+1.5\eta)} \right)^{4.5} e^{-0.5\lambda^2\eta^2}}. \quad (13)$$

При этом из-за связи  $\lambda = Z/v^2 \alpha$  поправка  $\Delta L_{Barkas}$  есть функция от параметра  $\alpha$ , значения которого

мы будем определять ниже. Отметим, что при произвольных значениях  $\eta$  поправка Баркаса (13) стремится к нулю при  $\lambda \rightarrow \infty$ .

Дальнейший план изложения следующий. Мы добавим к потерям энергии на короткодействующем потенциале потери энергии на дальнодействующем потенциале, чтобы обеспечить возможность (как описано в начале данного раздела) корректного определения параметра  $\alpha$ .

### 3. ПОТЕРИ ЭНЕРГИИ В ОБЛАСТИ ПРИМЕНИМОСТИ ДИПОЛЬНОГО ПРИБЛИЖЕНИЯ ДЛЯ ДАЛЬНОДЕЙСТВУЮЩЕГО ПОТЕНЦИАЛА

Вернемся к расчетам потерь энергии в рамках классической механики. Рассмотрим тяжелую частицу заряда  $Z$ , сталкивающуюся со связанным атомным электроном, который будем считать осциллятором с частотой  $\omega$  [8, 24]. Тогда уравнение движения для атомного электрона имеет вид

$$\frac{d\mathbf{r}}{dt^2} + \omega^2 \mathbf{r} = \mathbf{f}(b, t), \quad (14)$$

где  $\mathbf{r}$  — вектор, задающий положение электрона относительно ядра атома;  $\mathbf{f}(b, t)$  — сила, действующая на электрон со стороны частицы с зарядом  $Z$ . Если расстояние между ядром атома и налетающей частицей  $\mathbf{R} = \mathbf{b} + v\mathbf{t}$ , где  $v$  — относительная скорость столкновения,  $\mathbf{b}$  — параметр удара, то получим

$$\mathbf{f}(b, t) = \frac{-Z(\mathbf{R} - \mathbf{r})}{|\mathbf{R} - \mathbf{r}|^3} = \\ = -Z \frac{(b+x)\mathbf{i} - (vt-y)\mathbf{j}}{((b+x)^2 + (vt-y)^2)^{3/2}}. \quad (15)$$

Далее используем дипольное приближение, т. е. будем считать, что  $\mathbf{R} \gg \mathbf{r}$ , и получим, что классические потери  $\kappa_2^{cl}$  энергии в дипольной области дальнодействующего потенциала в некоторый момент времени  $t$  [24] равны

$$\kappa_2^{cl} = \int (\epsilon_1(t) + \epsilon_2(t)) d\mathbf{b}, \quad (16)$$

где

$$\epsilon_1(t) = \frac{Z^2 b^2}{2} \left[ \int_{-\infty}^t \frac{\cos(\omega t)}{(v^2 t^2 + b^2)^{3/2}} dt \right]^2 + \\ + \frac{Z^2 b^2}{2} \left[ \int_{-\infty}^t \frac{\sin(\omega t)}{(v^2 t^2 + b^2)^{3/2}} dt \right]^2, \quad (17)$$

$$\epsilon_2(t) = \frac{Z^2 v^2}{2} \left[ \int_{-\infty}^t \frac{t \cos(\omega t)}{(v^2 t^2 + b^2)^{3/2}} dt \right]^2 + \frac{Z^2 v^2}{2} \left[ \int_{-\infty}^t \frac{t \sin(\omega t)}{(v^2 t^2 + b^2)^{3/2}} dt \right]^2. \quad (18)$$

Очевидно, что в область интегрирования по времени не должна попадать область нарушения применимости дипольного приближения. Для этого необходимо «вырезать» при интегрировании по времени внутреннюю область, ограниченную границей, такой что  $(vt)^2 + b^2 = \alpha^2$ , поскольку при всех значениях  $|\mathbf{R}| < \sqrt{(vt)^2 + b^2}$  дипольное приближение дает неверный результат. Подробности расчета приведены в Приложении. В итоге получим при  $\alpha\omega/v \ll 1$  выражение для потерь энергии в области дальнодействующего потенциала:

$$\kappa_2^{cl} = 4\pi \left( \frac{Z}{v} \right)^2 L_2^{cl}, \quad (19)$$

где

$$L_2^{cl} = qK_0(q)K_1(q) + 3/2 - \ln 4, \quad (20)$$

$q = \alpha\omega/v$ , а  $K_0(q)$  и  $K_1(q)$  — функции Макдональда.

Полученные результаты (10) и (19) позволяют вычислить потери энергии на потенциале

$$V = \begin{cases} \frac{-Z}{|\mathbf{R} - \mathbf{r}|} \left( 1 - \frac{|\mathbf{R} - \mathbf{r}|}{\alpha} \right), & |\mathbf{R}| < \alpha, \\ -Z \frac{\mathbf{R} \cdot \mathbf{r}}{|\mathbf{R}|^3} + \omega^2 r^2, & |\mathbf{R}| > \alpha, \end{cases} \quad (21)$$

соответствующем при  $|\mathbf{R}| < \alpha$  короткодействующему потенциалу, рассмотренному в разд. 2, и дальнодействующему при  $|\mathbf{R}| > \alpha$  в дипольном приближении. Для этого, очевидно, нужно сложить потери энергии (10) и (19), в итоге получим  $\kappa^{cl} = \kappa_1^{cl} + \kappa_2^{cl}$ , тогда

$$\kappa^{cl} = 4\pi \left( \frac{Z}{v} \right)^2 (L_1^{cl} + L_2^{cl}), \quad (22)$$

где  $L_1^{cl}$  и  $L_2^{cl}$  определяются соответственно формулами (11) и (20). Для дальнейшего нам понадобится асимптотика выражения (22) при  $Z \rightarrow \infty$  и  $\omega/v \ll 1$ , которая, как нетрудно убедиться, имеет вид

$$\kappa^{cl} \left( Z \rightarrow \infty, \frac{\omega}{v} \ll 1 \right) = 4\pi \left( \frac{Z}{v} \right)^2 \ln \frac{e^{3/2-\gamma} v}{2\omega\alpha}. \quad (23)$$

Таким образом, нам удалось найти в рамках классической механики потери энергии на потенциале (21), однако параметр  $\alpha$ , разделяющий короткодействующую и дальнодействующую части потенциала (21), при этом остается неопределенным. Для

его корректного определения вернемся к формуле Бете–Блоха.

#### 4. ОСНОВНОЙ МЕТОД

Как показано в работе [12], область применимости формулы Бете–Блоха требует одновременного выполнения двух условий  $v \gg 1$  и  $\eta/2v \ll 1$ , а для того чтобы избавиться от ограничения  $\eta/v \ll 1$ , необходимо учесть так называемую непертурбативную оболочечную поправку  $\Delta L$ . В результате [12] эффективное торможение движущегося со скоростью  $v$  иона на сложном атоме можно представить в виде

$$\kappa = 4\pi \left( \frac{Z}{v} \right)^2 N_a L,$$

где

$$L = \ln \frac{2v^2}{I} + \Delta L_{Bloch} + \Delta L_{Barkas} + \Delta L_{shell} + \Delta L. \quad (24)$$

Именно модифицированная таким образом формула Бете–Блоха справедлива для  $v \gg 1$  при любых значениях  $\eta$  и позволяет перейти к классическому пределу для дальнейшего определения параметра  $\alpha$  в (23). Рассмотрим выражение (24) при асимптотически больших значениях заряда иона  $Z \rightarrow \infty$  и при  $\omega/v \ll 1$ , где  $\omega \approx 1$  — характеристические частоты атомной системы. При таких параметрах  $\Delta L_{Barkas} \rightarrow 0$  и  $\Delta L_{shell} \rightarrow 0$  по определению этой поправки [1]. Для простоты сначала рассмотрим поправку  $\Delta L$  для атома водорода [14]:

$$\Delta L = \gamma + K_0(2x) + \ln x. \quad (25)$$

Здесь  $x$  — безразмерная величина, не содержащая постоянной Планка и имеющая в системе СГС вид  $x = \sqrt{2\beta} Ze^2/mv^2$ , где  $\beta$  имеет размерность  $\text{см}^{-2}$ , а  $e$  и  $m$  — заряд и масса электрона, если же в формуле для  $x$  выразить все величины в атомных единицах, то  $x = 0.531 Z/v^2$  [14]. Нетрудно найти асимптотику выражения (24) при  $Z \rightarrow \infty, \omega/v \ll 1$  (что при фиксированных значениях  $v \gg 1$  соответствует переходу к квазиклассическому случаю  $\eta = Z/v \gg 1$ ):

$$L \left( Z \rightarrow \infty, \frac{\omega}{v} \ll 1 \right) = \ln \frac{0.531 v}{I}. \quad (26)$$

Поэтому соответствующее квазиклассическое выражение для  $\kappa$  имеет вид

$$\kappa \left( Z \rightarrow \infty, \frac{\omega}{v} \ll 1 \right) = 4\pi \left( \frac{Z}{v} \right)^2 \ln \frac{0.531 v}{I}. \quad (27)$$

В итоге получилось выражение, не зависящее от постоянной Планка, т. е. формула (27) должна совпадать с классическим решением (23). Следует отметить, что (27) не совпала с формулой Бора из-за того, что классическая формула Бора применима [12] при  $v \gg 1$  и  $Z/v^2 \ll 1$ , а в нашем случае  $\lambda \gg 1$ , что соответствует  $Z/v^2 \gg 1$  и область применимости асимптотики (27)  $v \gg 1$  и  $Z/v^2 \gg 1$  отличается от области применимости формулы Бора.

### 5. ПАРАМЕТР $\alpha$ И ПОПРАВКА БАРКАСА

Сравнивая асимптотики (23) и (27), находим их полностью совпадающими, если считать  $I = \omega$  (как в работе [25]), а

$$\alpha = \frac{e^{3/2-\gamma}}{1.062} = 2.369. \quad (28)$$

Таким образом, поправку Баркаса, найденную нами в рамках квантовой механики для атома водорода, можно рассчитывать по формуле (13) с параметром  $\alpha = 2.369$ . В отличие от других подходов, которые дают лишь качественное поведение поправки Баркаса и при которых расчет нужно проводить в численном виде, полученное нами выражение для  $\Delta L_{Barkas}$  — это простая аналитическая функция. Кроме того, можно разработать обобщение методики расчета поправки Баркаса на случаи столкновения движущегося со скоростью  $v$  иона заряда  $Z$  со сложными атомами. Действительно, поправка Баркаса для атома водорода оказалась связанной с непертурбативной оболочечной поправкой  $\Delta L$  [12]. Поэтому для расчета поправки Баркаса для сложного атома можно использовать значения  $\Delta L$ , полученные в работе [12] для сложных атомов. Значит, на сложные атомы рассмотренный подход можно обобщить, следуя методике работы [12]. Надо  $x$  в выражении (25) заменить на

$$x = \sqrt{2\beta_n} Z_a^{n,l} Z/v^2,$$

где  $\beta_n$  — коэффициенты для каждой оболочки атома, рассчитанные в работе [12],  $Z^{n,l}$  — эффективный заряд атома для электрона на оболочке  $(n, l)$ ,  $n$  — главное квантовое число,  $l$  — орбитальный момент. В итоге параметр  $\alpha$  для различных оболочек будет иметь разные значения, для оболочки  $(n, l)$  значения параметра  $\alpha$  будем обозначать  $\alpha_{n,l}$ , причем не трудно найти, что

$$\alpha_{n,l} = \frac{e^{3/2-\gamma}}{2Z^{n,l}\sqrt{2\beta_n}}. \quad (29)$$

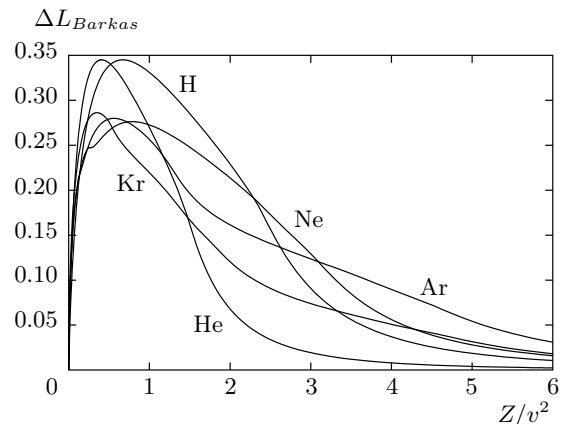


Рис. 2. Поправка Баркаса  $\Delta L_{Barkas}$  как функция отношения  $Z/v^2$  (в атомных единицах), рассчитанная по формуле (30), для атомов водорода, гелия, неона, аргона, криптона

Таким образом, поправка Баркаса имеет оболочечный характер и для потерь энергии на сложном атоме ее следует рассчитывать (следуя методике расчета  $\Delta L$  [12], формула (9)) путем суммирования по оболочкам атома-мишени:

$$\Delta L_{Barkas} = \frac{1}{N_a} \sum_{n,l} N_{n,l} \Delta L_{n,l}^{Barkas}, \quad (30)$$

где  $N_{n,l}$  — число атомных электронов в состояниях с квантовыми числами  $n, l$ . В формуле (30) суммирование проводится только по заполненным состояниям и  $\sum_{n,l} N_{n,l} = N_a$ , где  $N_a$  — общее число электронов в данном атоме (отметим, что речь идет о числах заполнения  $N_{n,l}$  для атома, находящегося в основном состоянии до столкновения). Значения  $\Delta L_{n,l}^{Barkas}$  находятся по формуле (13) при  $\alpha = \alpha_{n,l}$  для каждой оболочки с квантовыми числами  $n$  и  $l$ .

В качестве примера поведения поправки Баркаса при  $\eta \gg 1$  (классический случай) для простейших и сложных атомов на рис. 2 приведены значения  $\Delta L_{Barkas}$  для различных атомов; эффективный заряд  $Z^{n,l}$  атома для электрона на оболочке  $(n, l)$  выбирался по правилам Бурнса (Burns) [26]. По горизонтальной оси на рис. 2 отложены значения отношения  $\eta/v = Z/v^2$ .

Если же считать, что  $\eta \ll 1$ , то можно разложить функцию (13) по этому малому параметру (нужно учесть, что  $\lambda = \eta/v$ , где  $v \gg 1$ ):

$$\Delta L_{Barkas} (\eta \ll 1) = \frac{2Z}{v^2\alpha} \ln \left( \frac{v^2\alpha}{e|Z|} \right) \times \frac{1}{1 + (0.4\alpha v)^{-0.45}}. \quad (31)$$

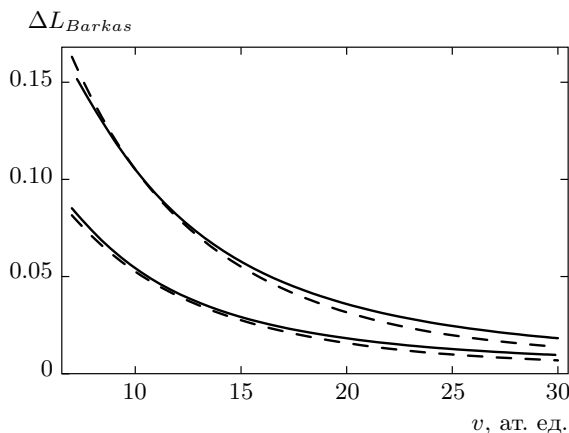
Выражение (31) соответствует асимптотике поправки Баркаса при малых  $Z/v^2$  [1]. Сравним нашу поправку Баркаса с наиболее часто используемой, которая получена в работах [8, 9]. Следует сказать, что поправка Баркаса в этих работах [8, 9] является классической, полученной при малости возмущений. В работе [9] проведена полуэмпирическая модификация результатов работы [8] для описания реального эксперимента и введены различные подгоночные параметры для наилучшего согласия с экспериментальными данными. Соответствующая подгоночная формула имеет вид [9]

$$\Delta L_{Barkas} = L(x) \frac{Z_p}{\sqrt{Z_T}} F \left( \frac{v}{\sqrt{Z_T}} \right), \quad (32)$$

где  $Z_p$  — заряд налетающего иона,  $Z_T$  — заряд ядра атома-мишени,  $F(x)$  — функция, которая получается при численном интегрировании, а  $L(x)$  — тормозное число, рассчитанное Бете,

$$L(x) = \ln \left[ \frac{2v^2}{I} \right].$$

На рис. 3 для атома криптона приведено сравнение полученных нами результатов с расчетами по полуэмпирической формуле (32).



**Рис. 3.** Зависимости поправки Баркаса для атома криптона, рассчитанные нашим методом по формуле (30) для многоэлектронного атома (сплошные линии) и по подгоночной формуле (32) из [9] (штриховые линии), как функции от  $v$ , при двух значениях заряда иона  $Z = 1$  (две нижние кривые) и  $Z = 2$  (две верхние кривые)

Следует отметить, что рассмотренный потенциал (21) не является наилучшим из возможных, но самым простым для расчетов, что в итоге привело к аналитическим результатам.

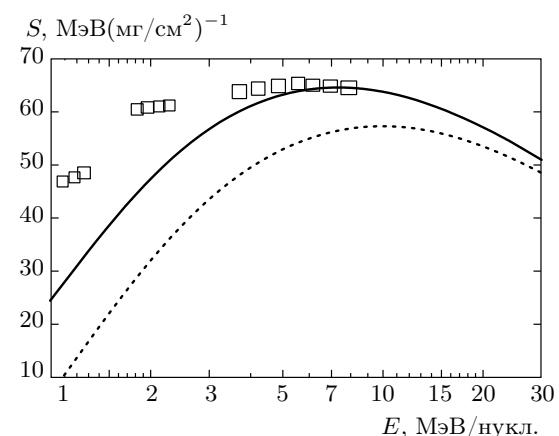
## 6. СРАВНЕНИЕ С ЭКСПЕРИМЕНТАЛЬНЫМИ ДАННЫМИ

Для сравнения с экспериментальными данными мы провели расчеты потерь энергии быстрыми ионами урана, свинца и ксенона на атомах аргона и криптона. Эффективное торможение движущегося со скоростью  $v$  иона заряда  $Z$  на атоме, содержащем  $N_a$  электронов, рассчитывалось по формуле (24),  $\Delta L_{Barkas}$  — по формуле (30), непертурбативная оболочечная поправка  $\Delta L$  — по формуле (9) статьи [12], оболочечная поправка  $\Delta L^{Shell}$  рассчитывалась по формуле (9') из работы Зигмунда [25], выполненной без использования подгоночных параметров на основе модели гармонического осциллятора с частотой  $\omega = I$ , где  $I$  — потенциал ионизации мишени. Средние потенциалы ионизации мишней были взяты из обзора [27] (таблица VI, рекомендованные значения  $I$ ). При расчетах с целью использования минимального числа подгоночных параметров выбирался эффективный заряд иона  $Z$  в виде [1, 28, 29], согласующийся с оценками Бора [30, 31]:

$$Z = Z_0 \left[ 1 - \exp \left( - \frac{v}{Z_0^{2/3}} \right) \right],$$

где  $Z_0$  — заряд голого иона.

Результаты расчетов представлены на рис. 4–7. На всех рисунках введены единые обозначения:



**Рис. 4.** Потери энергии  $S$  ионов урана на атомах криптона как функция энергии ионов  $E$

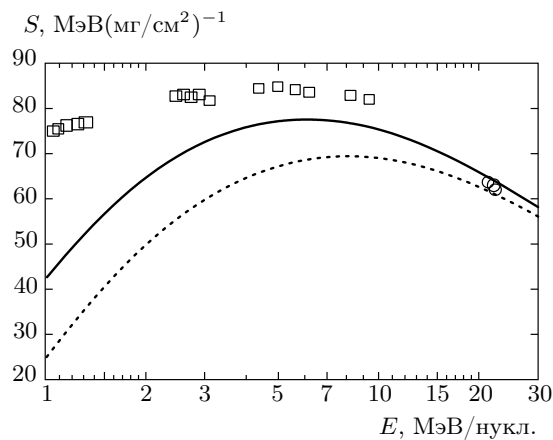


Рис.5. Потери энергии  $S$  ионов урана на атомах аргона как функция энергии ионов  $E$

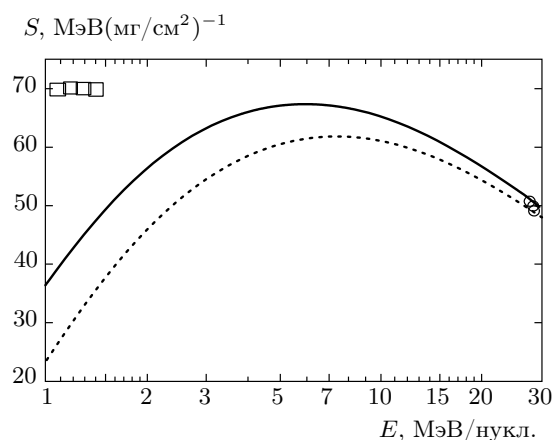


Рис.6. Потери энергии  $S$  ионов свинца на атомах аргона как функция энергии ионов  $E$

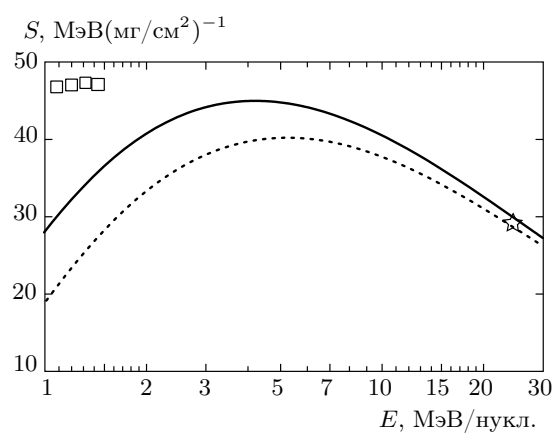


Рис.7. Потери энергии  $S$  ионов ксенона на атомах аргона как функция энергии ионов  $E$

результаты расчетов потерь энергии с учетом поправки Баркаса  $\Delta L_{Barkas}$  по формуле (30) изображены сплошными линиями, результаты расчетов потерь энергии без учета поправки  $\Delta L_{Barkas}$  изображены пунктирными линиями; звездочки — экспериментальные данные [32], кружки — экспериментальные данные [33], квадраты — экспериментальные данные [32–34] можно найти также на сайте <http://www.exphys.jku.at/stopping/>. Следует отметить, что во всех случаях, несмотря на отсутствие подгоночных параметров, наблюдается заметное улучшение согласия с экспериментальными данными при учете поправки Баркаса (30).

Таким образом, нами получена в простом аналитическом виде поправка Баркаса (13), учитывающая оболочечную структуру атома. При этом, в отличие от других теорий (см., например, [1, 8, 9, 35]), у нас отсутствуют подгоночные параметры. Предложенный подход, помимо расчета потерь энергии, допускает естественное обобщение, позволяющее учитывать влияние поправки Баркаса на флуктуации энергетических потерь в рамках метода расчета [36]. Как отмечается в обзоре [35], такого рода эффекты с учетом поправки Баркаса до настоящего времени практически не исследовались.

Работа выполнена в рамках КГЗ Министерства образования и науки РФ (№ 3.1726.2014/К) и стипендии Президента РФ (СП-2046.2012.1).

## ПРИЛОЖЕНИЕ

В выражениях (17) и (18) нужно при интегрировании по  $t$  «вырезать» область, границы которой задаются уравнением  $(vt)^2 + b^2 = \alpha^2$ . Очевидно, что эти выражения можно представить в виде (учитывая, что последнее слагаемое в (17) и первое в (18) равны нулю, ввиду нечетности подынтегральной функции)

$$\epsilon_1(\infty) = \frac{2Z^2}{v^2 b^2} \left[ \frac{1}{2} \int_{-\infty}^{\infty} \frac{\cos\left(\frac{\omega b}{v}x\right)}{(1+x^2)^{3/2}} dx - \right. \\ \left. - \frac{\theta(\alpha-b)}{2} \int_{-\sqrt{(\alpha/b)^2-1}}^{\sqrt{(\alpha/b)^2-1}} \frac{\cos\left(\frac{\omega b}{v}x\right)}{(1+x^2)^{3/2}} dx \right]^2, \quad (33)$$

$$\epsilon_2(\infty) = \frac{2Z^2}{v^2 b^2} \left[ \frac{1}{2} \int_{-\infty}^{\infty} \frac{x \sin\left(\frac{\omega b}{v} x\right)}{(1+x^2)^{3/2}} dx - \right. \\ \left. - \frac{\theta(\alpha-b)}{2} \left[ \int_{-\sqrt{(\alpha/b)^2-1}}^{\sqrt{(\alpha/b)^2-1}} \frac{x \sin\left(\frac{\omega b}{v} x\right)}{(1+x^2)^{3/2}} dx \right]^2 \right], \quad (34)$$

где введена новая переменная  $x = vt/b$ . Нас будет интересовать расчет при  $\omega/v \ll 1$  и в случае применимости дипольного приближения, когда  $(\omega b/v)x$  — малый параметр. Сохраняя в (33) и (34) наибольшие члены разложения, получим

$$\epsilon_1 = \frac{2Z^2}{v^2 b^2} \times \\ \times \left[ \frac{\omega b}{v} K_1\left(\frac{\omega b}{v}\right) - \theta(\alpha-b) \sqrt{1 - \left(\frac{b}{\alpha}\right)^2} \right]^2, \quad (35)$$

$$\epsilon_2 = \frac{2Z^2}{v^2 b^2} \left[ \frac{\omega b}{v} K_0\left(\frac{\omega b}{v}\right) \right]^2. \quad (36)$$

Тогда  $L_2$  в (19) будет иметь вид

$$L_2(\omega/v \ll 1) = \int_0^{\infty} \frac{1}{b^2} \left( \left[ \frac{\omega b}{v} K_1\left(\frac{\omega b}{v}\right) - \theta(\alpha-b) \times \right. \right. \\ \left. \times \sqrt{1 - \left(\frac{b}{\alpha}\right)^2} \right]^2 + \left[ \frac{\omega b}{v} K_0\left(\frac{\omega b}{v}\right) \right]^2 \left. \right) b db. \quad (37)$$

Разбив (37) на два интеграла, где  $b < \alpha$  и  $b > \alpha$ , и воспользовавшись тем, что  $\omega/v \ll 1$  (для интеграла, где  $b < \alpha$ , разложив  $xK_1(x)$  в ряд при малых  $x$ , получим  $xK_1(x) \rightarrow 1$ ), получим [37] выражение (20).

## ЛИТЕРАТУРА

1. J. F. Ziegler, Appl. Phys. A **85**, 1249 (1999).
2. H. A. Bethe, Ann. Phys., Lpz. **5**, 324 (1930).
3. F. Bloch, Ann. der Phys. **16**, 285 (1933).
4. H. Bichsel, Phys. Rev. A **65**, 052709 (2002).
5. W. H. Barkas, W. Birnbaum, and F. M. Smith, Phys. Rev. **101**, 778 (1956).
6. W. H. Barkas, J. W. Dyer, and H. H. Heckman, Phys. Rev. Lett. **11**, 26 (1963).
7. H. M. Henning and P. Sigmund, Phys. Rev. A **40**, 101 (1989).
8. J. C. Ashley, R. H. Ritchie, and W. Brandt, Phys. Rev. B **5**, 2393 (1972).
9. J. D. Jackson and R. L. McCarthy, Phys. Rev. B **6**, 4131 (1972).
10. A. Schinner and P. Sigmund, Nucl. Instr. Meth. B **164–165**, 220 (2000).
11. M. M. Basko, Europ. Phys. J. D **32**, 9 (2005).
12. В. И. Матвеев, Д. Н. Макаров, Письма в ЖЭТФ **94**, 3 (2011).
13. В. И. Матвеев, Д. Н. Макаров, Е. С. Гусаревич, Письма в ЖЭТФ **92**, 317 (2010).
14. В. И. Матвеев, Д. Н. Макаров, Е. С. Гусаревич, ЖЭТФ **139**, 868 (2011).
15. N. R. Arista and P. Sigmund, Phys. Rev. A **76**, 062902 (2007).
16. J. Lindhard, Nucl. Instr. Meth. **132**, 1 (1976).
17. N. F. Mott and H. S. W. Massey, *The Theory of Atomic Collision*, Clarendon Press, Oxford (1965).
18. Yu. N. Demkov and V. N. Ostrovsky, J. Phys. B **34**, L595 (2001).
19. I. Nagy, R. Vincent, J. I. Juaristi, and P. M. Echenique, Phys. Rev. A **78**, 012902 (2008).
20. Л. Д. Ландау, Е. М. Лифшиц, *Механика*, Наука, Москва (1988).
21. J. Lindhard and A. Sorensen, Phys. Rev. A **53**, 2443 (1996).
22. В. В. Бабиков, *Метод фазовых функций в квантовой механике*, Наука, Москва (1976).
23. В. В. Балашов, *Квантовая теория столкновений*, МАКС Пресс, Москва (2012).
24. Н. Бор, *Избранные труды*, т. 1, Наука, Москва (1970).
25. P. Sigmund and U. Haagerup, Phys. Rev. A **34**, 892 (1986).
26. G. Burns, J. Chem. Phys. **41**, 1521 (1964).
27. S. P. Ahlen, Rev. Mod. Phys. **52**, 121 (1980).
28. L. C. Northcliffe, Phys. Rev. **120**, 1744 (1960).

- 29.** N. J. Carron, *An Introduction to the Passage of Energetic Particles through Matter*, CRC Press, Taylor and Francis Group, New York, London (2007).
- 30.** N. Bohr, Phys. Rev. **58**, 654 (1940).
- 31.** N. Bohr, Phys. Rev. **59**, 279 (1941).
- 32.** J. Herault, R. Bimbot, H. Gauvin, B. Kubica, R. Anne, G. Bastin, and F. Hubert, Nucl. Instr. Meth. Phys. Res. B **61**, 156 (1991).
- 33.** R. Bimbot et al., Nucl. Instr. Meth. Phys. Res. B **107**, 9 (1996).
- 34.** H. Geissel, Y. Laichter, W. F. W. Schneider, and P. Armbruster, Phys. Lett. A **88**, 26 (1988).
- 35.** P. K. Sigmund, Dan. Vidensk. Selsk. Mat. Fys. Medd. **52**, 557 (2006), *Special issue on Ion Beam Science: Solved and Unsolved Problems*, ed. by P. Sigmund.
- 36.** Д. Н. Макаров, В. И. Матвеев, Письма в ЖЭТФ **95**, 131 (2012).
- 37.** А. П. Прудников, Ю. А. Брычков, О. И. Маричев, *Интегралы и ряды. Специальные функции*, Наука, Москва (1973).